



روش زنجیره مارکوف برای مدل‌سازی رخدادهای سنگی در یکی از مخازن هیدرولوگی جنوب غرب ایران

هانیه نیکوگفتار^{۱*}، بهزاد مهرگین^۲، عباس بمودی^۳، بهزاد تهمپی^۴ و غلامحسین نووزی^۵

(۱) دانشجوی کارشناسی ارشد مهندسی اکتشاف معدن، دانشکده فنی، دانشگاه تهران، hanienikoo@yahoo.com

(۲) دانشجوی دکترای مهندسی اکتشاف نفت، دانشکده فنی، دانشگاه تهران

(۳) استادیار، دانشکده مهندسی معدن، دانشکده فنی، دانشگاه تهران

(۴) استادیار، دانشکده مهندسی معدن، نفت و ژئوفیزیک، دانشگاه صنعتی شاهرود

(۵) دانشیار، دانشکده مهندسی معدن، دانشکده فنی، دانشگاه تهران

* عهده‌دار مکاتبات

دریافت: ۹۱/۵/۱۵؛ دریافت اصلاح شده: ۹۲/۲/۲۵؛ پذیرش: ۹۲/۲/۳۰؛ قابل دسترس در تارنما: ۹۲/۵/۳۱

مکمل

شناسایی و تفسیر ناهمگنی‌های زیرسطحی به ویژه رخدارهای سنگی، همواره نقشی اساسی در ارزیابی و مدیریت منابع هیدرولوگی برآورده دارد. ارائه روشی نوین که نتایج آن تطابق بهتری با واقعیت رخدارهای مخزنی داشته باشد، همواره مورد توجه بوده و می‌تواند در کاهش ریسک تصمیم‌گیری موثر باشد. امروزه زنجیره مارکوف به عنوان روشی قدرتمند برای مدل‌سازی رخدارهای مورد استفاده قرار می‌گیرد که بر مبنای احتمالات شرطی و ارائه ماتریس انتقال حالت است. در این مطالعه، پس از مدل‌سازی رخداره با زنجیره مارکوف، به بررسی تعمیم‌پذیری این روش برای مقاطع بدون اطلاعات لرزه‌ای پرداخته شد. هم‌چنین به منظور افزایش دقت تعمیم‌پذیری، راهکاری بر مبنای تغییر نوع حرکت زنجیره ارائه گردید. این پژوهش بر روی یکی از میادین هیدرولوگی جنوب غرب ایران انجام شد که در آن سازند آسماری مخزن اصلی هیدرولوگی برآورده دارد. با استفاده از روش زنجیره مارکوف، مدل‌سازی سه بخش اصلی سازند آسماری و پوش‌سنگ آن در یک مقطع به طول ۱۲ کیلومتر و ضخامت ۱۱۰ متر انجام شد. بهترین نتیجه مدل‌سازی، برای حالت بکارگیری راهکار پیشنهادی بوده که دقت آن بطور متوسط حدود ۸۲ درصد می‌باشد.

واژه‌های کلیدی: زنجیره مارکوف، مدل‌سازی، رخداره سنگی، مخازن هیدرولوگی.

۱- مقدمه

شناسایی و تفسیر ناهمگونی‌های زیرزمینی، نقشی اساسی در توصیف رخدارهای سنگی، همواره نقشی اساسی در ارزیابی و مدیریت منابع نوین که نتایج آن تطابق بهتری با واقعیت رخدارهای مخزنی داشته باشد، همواره مورد توجه بوده و می‌تواند در کاهش ریسک تصمیم‌گیری موثر باشد. امروزه زنجیره مارکوف به عنوان روشی قدرتمند برای مدل‌سازی رخدارهای مورد استفاده قرار می‌گیرد که بر مبنای احتمالات شرطی و ارائه ماتریس انتقال حالت است. در این مطالعه، پس از مدل‌سازی رخداره با زنجیره مارکوف، به بررسی تعمیم‌پذیری این روش برای مقاطع بدون اطلاعات لرزه‌ای پرداخته شد. هم‌چنین به منظور افزایش دقت تعمیم‌پذیری، راهکاری بر مبنای تغییر نوع حرکت زنجیره ارائه گردید. این پژوهش بر روی یکی از میادین هیدرولوگی جنوب غرب ایران انجام شد که در آن سازند آسماری مخزن اصلی هیدرولوگی برآورده دارد. با استفاده از روش زنجیره مارکوف، مدل‌سازی سه بخش اصلی سازند آسماری و پوش‌سنگ آن در یک مقطع به طول ۱۲ کیلومتر و ضخامت ۱۱۰ متر انجام شد. بهترین نتیجه مدل‌سازی، برای حالت بکارگیری راهکار پیشنهادی بوده که دقت آن بطور متوسط حدود ۸۲ درصد می‌باشد.

این پژوهش به بررسی کاربرد زنجیره مارکوف در مدل‌سازی رخساره‌های سنگی در یکی از میادین هیدروکربوری جنوب غرب ایران پرداخته است. در این مطالعه، پس از معرفی تئوری زنجیره مارکوف و چگونگی مدل‌سازی با این روش در حیطه زمین‌شناسی، به ارائه روشی برای مدل‌سازی رخساره‌ها در مقاطعی که از آنها اطلاعات لرزه‌ای موجود نمی‌باشد، پرداخته شده است. هم‌چنین به منظور افزایش دقت و بهبود مدل‌سازی با روش مارکوف، تغییراتی در فرآیند مدل‌سازی این زنجیره انجام شد. در این راستا راهکاری پیشنهاد شده که نقش بسزایی در افزایش دقت مدل‌سازی داشته و بر مبنای تغییر نوع حرکت زنجیره استوار است. در نهایت، نتایج حاصل از تعمیم پذیری توسط روش مارکوف و راهکار پیشنهادی ارائه شد.

بالای هیدروکربوری نقش بسزایی را در تعیین محل‌های بهینه حفاری دارد (Mukerji et al. 2001).

همواره دست‌یابی به درکی روشن و صحیح از مخزن به ویژه در رخساره‌های نفتی، نیازمند استفاده از روش‌هایی با کارایی و دقت بالا است. امروزه، روش‌های متنوعی جهت تفسیر کمی رخساره‌های نفتی توسعه یافته که در یک تقسیم‌بندی کلی به دو دسته تعیینی و احتمالاتی تقسیم می‌شوند (Ross 2009). روش‌های تعیینی برخلاف سادگی فرآیند مدل‌سازی، قادر به ارائه خطا یا میزان صحت مدل به دست آمده نیستند، اما با استفاده از روش‌های احتمالاتی، علاوه بر کمی کردن خطای مدل و برآورد میزان احتمال صحت آن می‌توان ارزش هر یک از اطلاعات را نیز در افزایش دقت مدل بررسی کرد (Mukerji et al. 2005).

۲- آمین‌شناسی میدان نفتی مورد مطالعه

میدان مورد مطالعه در دشت خوزستان، در ناحیه فروافتادگی ذرفول شمالی واقع است. این میدان هیچ رخنمونی در سطح نداشته و از طریق اکتشافات زیرزمینی و به کمک عملیات لرزه‌نگاری در سال ۱۹۶۲ کشف شده است.

با حفر اولین چاه اکتشافی در سال ۱۹۶۳، وجود هیدروکربور در هر دو مخزن آسماری و بنگستان تایید شد. ساختار این میدان نیز مانند بسیاری از میادین این ناحیه از روند زاگرس (شمال‌غرب - جنوب‌شرق)، تبعیت می‌کند (EDCO Kish International Company 2006).

این میدان دارای سه مخزن نفتی آسماری، بنگستان و خامی می‌باشد که این مطالعه بر روی مخزن آسماری و پوش‌سنگ آن انجام شده است. ضخامت سازند آسماری در میدان مورد مطالعه بین ۴۵۰ تا ۵۱۵ متر متغیر است. از نظر سنگ‌شناسی، سازند آسماری غالباً از ماسه‌سنگ و سنگ‌های کربناته تشکیل شده است. بر اساس تغییرات لیتولوژی و تخلخل، در این میدان سازند آسماری به طور قائم به هشت بخش و نوزده زیربخش متمایز شامل سنگ‌های آهکی، ماسه‌سنگی و رسی تقسیم شده است. بخش‌های یک، دو و سه بالای سطح جدایش نفت و آب قرار داشته و لایه‌های نفت‌ده را تشکیل می‌دهند (EDCO Kish International Company 2006).

در این مطالعه به مدل‌سازی بخش‌های نفت‌ده پرداخته شده است. بخش یک عمده‌ای از آهک‌های دولومیتی و دولومیت‌های آهکی تشکیل شده که میزان تخلخل آن خوب تا خیلی خوب می‌باشد. میزان ضخامت خالص در این بخش از مقدار کمتر از ۱ متر تا ۲۱ متر متغیر است. این ضخامت در قسمت‌های مرکزی طاقدیس نسبت به یال‌های آن بیشتر است (EDCO Kish International Company 2006).

روش زنجیره مارکوف (Markov Approach modeling) که به افتخار "اندری مارکوف" ریاضی‌دان اهل روسیه نام‌گذاری شده، یک روش احتمالاتی است که در طول چند سال اخیر، کاربرد آن در علوم زمین به سرعت افزایش یافته است. این روش در زمین‌شناسی برای مدل‌سازی متغیرهای گسته مانند لیتولوژی و رخساره‌ها به کار می‌رود. بسیاری از روش‌های پیشین توسط واریوگرام‌ها و کواریوگرام‌ها، ساختارهای فضایی ناهمگونی مخزن را مشخص می‌کنند. مدل‌سازی در زمین‌شناسی توسط زنجیره مارکوف، از واریوگرام‌ها و کواریوگرام‌ها استفاده نمی‌کند، بلکه بر پایه احتمالات شرطی می‌باشد. استفاده از ابزار احتمالات شرطی علاوه بر ارائه نتایج دقیق‌تر، این مزیت را دارند که تفسیر زمین‌شناسی آنها بسیار آسان‌تر از واریوگرام‌ها بوده و همین دلیلی بر محبوبیت استفاده از زنجیره مارکوف در میان زمین‌شناسان شده است (Elfeki & Dekking 2001).

مطالعات بیلین‌جسلی، اندرسون و گودمن (Billingsley 1961, Anderson & Goodman 1957) نشان داد که زنجیره مارکوف می‌تواند نقش بسزایی را در مدل‌سازی ناهمگونی‌های زیرسطحی به ویژه رخساره سنگی داشته باشد. محققان بسیاری نیز از این ابزار برای تجزیه و تحلیل چینه‌های رسوبی و مدل‌سازی رخساره‌ها با استفاده از اطلاعات رخنمون‌ها و گمانه‌های اکتشافی پرداختند (Krumbein & Dacey 1969). علاوه بر این مطالعات، پژوهش‌هایی نیز در ارتباط با توسعه ابعاد مدل‌سازی با استفاده از زنجیره مارکوف صورت گرفته است (Li 2007). در تمامی این مطالعات از ابزار فوق تنها در راستای مدل‌سازی رخساره‌های کم عمق استفاده شده و تاکنون مطالعات جامعی در ارتباط با رخساره‌های عمیق به ویژه در میادین نفتی صورت نگرفته است.

$X(n)$, $n \in N$ نمایش داده می‌شود و در آن مقادیر ممکن $\{X(n)\}$ حالت (State) فرایند نامیده می‌شوند. در عمل، مجموعه اندیس N عمولاً به زمان اشاره دارد و مقادیر $\{X(n)\}$, اندازه‌های مشاهده شده را بر روی یک سیستم در زمان n نشان می‌دهند. زنجیره مارکوف فرایندی تصادفی است که در متغیرهای تصادفی آن، انتقال از یک حالت به حالت دیگر صورت می‌گیرد.

بر اساس ویژگی مارکوف (Property Markov), حالت بعدی یک متغیر تنها به حالت فعلی آن بستگی دارد و به وقایع قبل از آن ارتباطی ندارد (Higgins & Keller-McNulty 1995). اگر $\{X(n)\}$ یک فرایند تصادفی و $\{S(n)\}$ حالت‌های فرایند تصادفی را نشان دهد، در این صورت می‌توان گفت که اگر رابطه (۱) برقرار باشد، فرایند در ویژگی مارکوف صدق می‌کند.

$$P[X(n+1) = S(n+1) | X(n) = S(n), X(n-1) = S(n-1), \dots, X(0) = S(0)] = P[X(n+1) = S(n+1) | X(n) = S(n)] \quad \text{رابطه (۱)}$$

دارد. استفاده از ماتریس تغییر حالت یک مرحله‌ای، ابزاری کارآمد جهت ارائه احتمال‌های تغییر حالت یک زنجیره مارکوف است. جدول ۱، مثالی از ماتریس احتمال انتقال برای سه حالت است که در آن درایه‌های ماتریس تغییر حالت متناظر با احتمال‌های تغییر حالت i به حالت j است. بعد این ماتریس با تعداد حالت‌های ممکن برای متغیر تصادفی تعریف شده و اندیس سطری با حالت کوئنی i و اندیس ستونی با حالت بعدی j متناظر است (Modica & Poggolini 2012).

(2012)

بخش دو دارای هیدروکربین است و بیشتر از ماسه‌سنگ‌های تحکیم یافته همراه با مقادیر کمی شیل و آهک تشکیل شده است. این بخش دارای تخلخل متوسط، خوب و خیلی خوب می‌باشد (EDCO Kish International Company 2006).

بخش سه عمدتاً از ماسه‌سنگ تحکیم یافته همراه با مقادیر قابل توجهی شیل تشکیل شده و دارای تنابی از تخلخل پایین تا خیلی خوب است (EDCO Kish International Company 2006). در این مطالعه علاوه بر سه بخش مخزنی، به مدل‌سازی بخش پوش‌سنگ انیدریتی سازند آسماری نیز پرداخته شده است.

۳- تئوری زنجیره مارکوف

یک فرایند تصادفی، مجموعه‌ای از متغیرهای تصادفی است که با

فرایند تصادفی که در ویژگی مارکوف صدق کند، فرایند مارکوف (Markov process) و فرایندهایی را که دارای حالت‌های گسته هستند، زنجیره مارکوف (Markov chain) می‌نامند. واژه زنجیره به این نکته که هر برآمد به برآمد بلافصله قبل از خودش وابسته است، اشاره دارد (Papoulis 2002). احتمال تغییر حالت یک مرحله‌ای بر اساس احتمالات شرطی به صورت رابطه (۲) تعریف می‌شود:

$$P(i \rightarrow j) = P[X=j | X_{-1}=i] \quad \text{رابطه (۲)}$$

احتمال تغییر حالت یک مرحله‌ای، برابر با احتمال انتقال از حالت i به حالت j است که در نظریه و کاربرد زنجیره مارکوف نقش کلیدی

جدول ۱- ماتریس احتمال انتقال بین سه حالت (Modica & Poggolini 2012)

| حال | ۱ | ۲ | ۳ |
|-----|------|------|------|
| ۱ | ۰/۶۵ | ۰/۲۸ | ۰/۰۷ |
| ۲ | ۰/۱۵ | ۰/۶۷ | ۰/۱۸ |
| ۳ | ۰/۱۲ | ۰/۳۶ | ۰/۵۲ |

و S_q است (Z_i بیانگر حالت سلول $x=1, \dots, N$ می‌باشد). احتمال انتقال حالت pr از حالت i به حالت j به صورت رابطه ۳ ارائه می‌شود (Li & Zhang 2008).

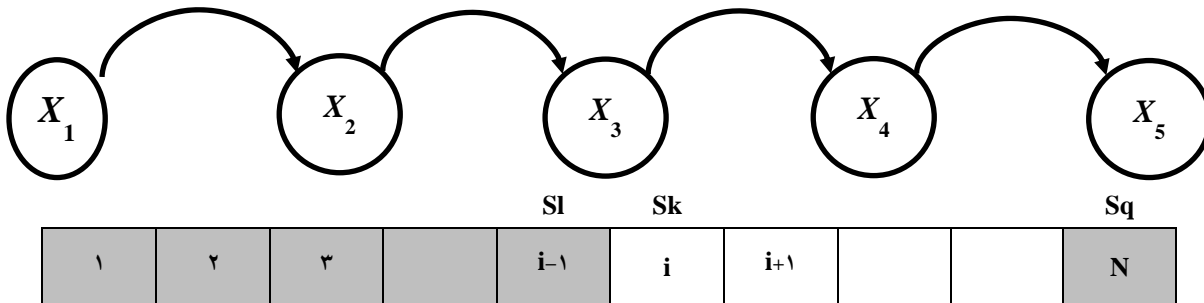
$$pr(Z_i=S_k | Z_{i-1}=S_l, Z_n=S_q) \quad \text{رابطه (۳)}$$

رابطه ۳ را می‌توان به صورت زیر نیز نوشت (رابطه ۴).

در جدول ۱، درایه سطر سوم و ستون دوم بیانگر آن است که احتمال انتقال از حالت سه به حالت بعدی اگر دو باشد، برابر با $0/36$ است. بدیهی است که جمع درایه‌های یک سطر برابر یک می‌باشد.

در تصویر ۱، توالی از رخدادها نمایش داده شده که ویژگی مارکوف را دارا می‌باشند. سلول x در حالت S_k سلول -1 در حالت S_l و سلول N در حالت S_q قرار دارد. رخداد S_k نیز مشروط به رخداد S_l

$$pr(Z_i=S_k | Z_{i-1}=S_l, Z_N=S_q) = \frac{pr(Z_{i-1}=S_l, Z_i=S_k, Z_N=S_q)}{pr(Z_{i-1}=S_l, Z_N=S_q)} \quad \text{رابطه (4)}$$



تصویر ۱- یک توالی از رخدادها برای زنجیره مارکوف یک بعدی. سلول‌های خاکستری دارای مقدار و سلول‌های سفید مورد تخمین با روش مارکوف هستند (Modica & Poggolini 2012)

به صورت رابطه ۵ بیان کرد.

$$pr(Z_x=S_k | Z_{x-1}=S_l, Z_N=S_q) = \frac{p_{kq}^{(N-x)} p_{lk}}{p_{lq}^{(N-x+1)}} \quad \text{رابطه (5)}$$

با توجه به ویژگی مارکوف می‌توان احتمالات شرطی در رابطه ۴ را

در این رابطه، $p_{kq}^{(N-x)}$ احتمال انتقال از حالت k به حالت q به فاصله $(N-x)$ سلول و همچنین $p_{lq}^{(N-x+1)}$ احتمال انتقال از حالت l به حالت q به فاصله $(N-x+1)$ سلول است (Li & Zhang 2008).

با مفروض بودن یک مقدار آغازی و یک ماتریس تغییر حالت یک مرحله‌ای، مسیرهای یک زنجیره مارکوف را می‌توان شبیه‌سازی کرد.

جدول ۲- مشخص کردن تعداد حالت‌ها و رخساره‌ها در منطقه مورد مطالعه

| حالات | رخساره |
|------------|-----------|
| حالت اول | انیدریت |
| حالت دوم | آهک |
| حالت سوم | ماسه سنگ |
| حالت چهارم | ماسه شیلی |

گام دوم؛ داده‌های مورد استفاده در این مدل‌سازی، رخساره‌های مشخص شده توسط چاهنماورها و اطلاعات لرزه‌ای می‌باشند. در یک مقطع دو بعدی، داده‌های چاه (رخساره‌های مشخص شده توسط چاهنماورها) در راستای قائم و داده‌های لرزه‌ای (رخساره‌های مشخص شده توسط داده‌های لرزه‌ای) در راستای افقی مورد استفاده قرار می‌گیرند. بر اساس تصویر ۲، دو چاه در راستای قائم و اطلاعات لرزه‌ای در راستای افقی (رنگ خاکستری)، به عنوان فضای مشاهده شده در نظر گرفته می‌شوند. در تصویر ۲، چاه سمت چپ در بازه (۱و۰) و Ny و ... و ۲۰۰، چاه سمت راست در بازه (Nx) و (i) Ny و

۴- مدل سازی (رسانه‌ها) با استفاده از زنجیره مارکوف

حضور ویژگی مارکوف در یک توالی از رخساره‌ها بیانگر وابستگی بین رخساره‌ها است. با توجه به قانون والتر (سال ۱۸۹۳ تا ۱۸۹۴)، محیط‌های رسویی که در آنها رخساره‌های متفاوت گسترش پیدا می‌کنند، دارای ارتباط طبیعی (ارتباط در شرایط محیطی) می‌باشند. بر این اساس، مجموعه واحدهای رسویی که مجاور یکدیگر تشکیل می‌شوند، دارای یک وابستگی طبیعی در شرایط فیزیکی، شیمیابی و بیولوژیکی هستند. با توجه به این قانون می‌توان گفت که تشکیل توالی‌های رسویی به صورت تصادفی و مستقل از هم نبوده و وابستگی معناداری بین رخساره‌ها وجود دارد (امینی ۱۳۸۸)

مدل‌سازی رخساره‌ها با استفاده از زنجیره مارکوف به چهار گام تقسیم می‌شود.

گام اول؛ تعیین فضای حالت بر مبنای متغیر مورد بررسی می‌باشد. در این مطالعه، متغیر رخساره‌های سنگی می‌باشند. بنابراین، فضای حالت برابر با تعداد رخساره‌های موجود در توالی رسویی است. در این

در راستای افقی به ۶۰۰ سلول ۲۰ متری در راستای افقی تقسیم شده است. ضخامت این مقطع نیز ۱۱۰ متر می‌باشد که با توجه به قدرت تفکیک داده‌های چاه (به ازای هر یک متر، رخساره‌ها از روی داده‌های چاه مشخص شده اند) به ۱۱۰ سلول یک متری در راستای قائم تقسیم شده است. به ازای هر سلول یک شماره سطر آ، یک شماره ستون آ و یک حالت از رخساره S وجود دارد.

... و $\hat{z} = 2$ و داده‌های لرزه‌ای در بازه $(\hat{z}, 1)$ و Nx و ... و $\hat{z} = 1$; قرار گرفته و فضای بین دو چاه به سلول‌هایی تقسیم‌بندی شده است. ابعاد سلول‌ها با توجه به قدرت تفکیک (Resolution) داده‌های چاه و داده‌های لرزه‌ای مشخص می‌شود. طول مقطع مورد مطالعه ۱۲ کیلومتر می‌باشد که با توجه به قدرت تفکیک داده‌های لرزه‌ای (به ازای هر ۲۰ متر، رخساره‌ها از روی داده‌های لرزه‌ای مشخص شده‌اند)، این مقطع

| $1, Nx$ | | | | | | | | | $1, Nx$ |
|---------|--|--|-----------------|-----------------|--|--|--|--|----------------|
| | | | | $(i-1, j) = Sm$ | | | | | |
| | | | $(i, j-1) = Sl$ | $(i, j) = Sk$ | | | | | $(i, Nx) = Sq$ |
| | | | | | | | | | |
| $Ny, 1$ | | | | | | | | | Ny, Nx |

تصویر ۲- شبکه‌بندی فضای بین اطلاعات دوچاه (راستای عمودی) و لرزه (راستای افقی) با توجه به قدرت تفکیک چاه و داده‌های لرزه‌ای. سلول‌های خاکستری تیره نقاط مشاهده شده، سلول‌های خاکستری روشن سلول‌های تخمین زده شده و سلول‌های سفید مجھول هستند.

دارد که سهم انتقال به رخساره ماسه تنها ۲ شمارش است، بنابراین احتمال انتقال آن $6/000 = 0.0006$ می‌شود.

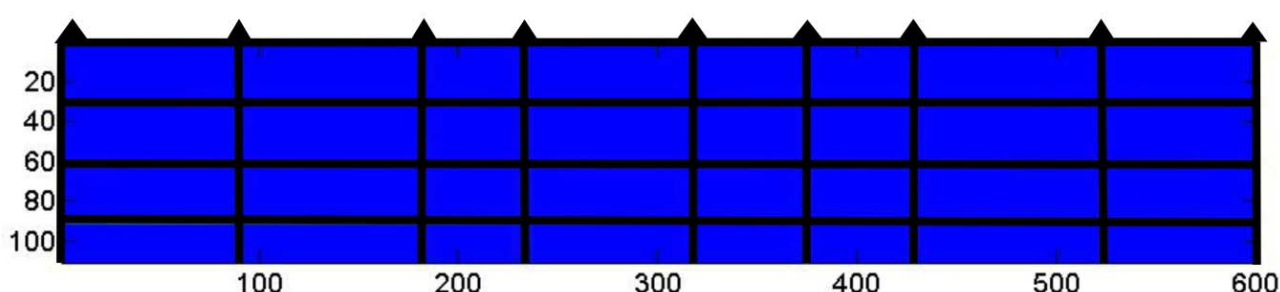
گام چهارم؛ در این مرحله فضای داده‌های مشاهده شده مشخص می‌شود. فضای مورد مطالعه در این تحقیق یک مقطع زمین‌شناسی به طول ۱۲ کیلومتر (۶۰۰ سلول به طول ۲۰ متر) و ضخامت ۱۱۰ متر (۱۱۰ سلول به طول یک متر) است. برای مدل‌سازی این مقطع دو بعدی از اطلاعات نه چاه با فاصله‌های معلوم و چهار افق اطلاعات لرزه‌ای با فاصله ۳۰ متر (تصویر ۳) به عنوان فضای مشاهده شده، استفاده شده است.

در این تقسیم‌بندی، همه سلول‌ها بین اطلاعات مشاهده شده از دو چاه و دو افق لرزه‌ای قرار می‌گیرند. به منظور تخمین حالت هر سلول، با توجه به شماره سطر و ستون آن، از ماتریس احتمال عمودی چاه سمت چپ و ماتریس احتمال افقی لرزه‌ای که در سطر بالایی قرار گرفته، استفاده می‌شود. چاه سمت راست هر سلول در شبیه‌سازی شرطی استفاده می‌شود.

گام سوم؛ هدف این مرحله تشکیل ماتریس احتمال انتقال در دو راستای افقی و قائم است. بنابراین، با توجه به شبکه‌بندی انجام شده در راستای قائم (چاه) و افقی (لرزه)، انتقال حالت‌ها از \hat{z} به \hat{z} (می‌تواند $\hat{z} = i$ باشد) شمارش شد. در ادامه، برای به دست آوردن احتمال انتقال هر حالت به خود و حالت‌های دیگر، تعداد شمارش‌ها تقسیم بر کل شمارش‌های هر سطر می‌شود. احتمال انتقال درایه (ij, p_{ij}) منعکس کننده، احتمال گذر از حالت \hat{z} به حالت \hat{z} است که از رابطه ۶ محاسبه می‌شود.

$$P_{ij} = \frac{f_{ij}}{T_i} \quad (6)$$

در این رابطه، f_{ij} تعداد انتقال‌های صورت گرفته از رخساره \hat{z} به رخساره \hat{z} و T_i تعداد کل انتقال‌های رخساره اول یا به عبارتی مجموع سطر اول ماتریس انتقال و p_{ij} نسبت این دو پارامتر و یا احتمال انتقال صورت گرفته می‌باشد. به عنوان مثال، در جدول ۳ که ماتریس انتقال و ماتریس احتمال انتقال در هر دو راستای قائم و افقی در منطقه مورد مطالعه است، در راستای افقی، ۳۵۰ شمارش رخساره انیدریت وجود



تصویر ۳- نحوه قرار گرفتن چاه‌ها و افق‌های لرزه‌ای در مقطع مورد بررسی. نه چاه با فاصله‌های مشخص در راستای قائم و چهار افق لرزه‌ای با فاصله ۳۰ متر در راستای افقی.

جدول ۳- ماتریس انتقال و ماتریس احتمال انتقال در دو راستای افقی و قائم

| طول مقطع افقی ۱۲ کیلومتر | | | | طول مقطع قائم ۱۱۰ متر | | | | | | | | | | | |
|--|-----|-----|----|--|------|----|----|------------------------------------|---|------|-------|-------|-------|-------|--|
| فاصله نمونه برداری در راستای افقی ۲۰ متر | | | | فاصله نمونه برداری در راستای قائم یک متر | | | | | | | | | | | |
| ماتریس تعداد انتقال در راستای افقی | | | | | | | | ماتریس تعداد انتقال در راستای قائم | | | | | | | |
| حالت | ۱ | ۲ | ۳ | ۴ | حالت | ۱ | ۲ | ۳ | ۴ | حالت | ۱ | ۲ | ۳ | ۴ | |
| ۱ | ۳۴۰ | ۵ | ۲ | ۳ | ۱ | ۴۹ | ۸ | ۲ | ۶ | ۱ | ۰/۷۵۴ | ۰/۱۲۳ | ۰/۰۳۱ | ۰/۰۹۲ | |
| ۲ | ۲ | ۱۳۷ | ۸ | ۳ | ۲ | ۱ | ۱۰ | ۳ | ۱ | ۲ | ۰/۰۴۰ | ۰/۹۰۰ | ۰/۰۳۰ | ۰/۰۳۰ | |
| ۳ | ۲ | ۳ | ۴۹ | ۶ | ۳ | ۱ | ۱ | ۱۵ | ۲ | ۳ | ۰/۰۵۳ | ۰/۰۵۳ | ۰/۷۸۹ | ۰/۱۰۵ | |
| ۴ | ۱ | ۱ | ۳ | ۳۵ | ۴ | ۲ | ۱ | ۲ | ۶ | ۴ | ۰/۱۸۲ | ۰/۰۹۱ | ۰/۱۸۲ | ۰/۰۴۵ | |

| ماتریس احتمال انتقال در راستای افقی | | | | ماتریس احتمال انتقال در راستای قائم | | | | | |
|-------------------------------------|-------|-------|-------|-------------------------------------|------|-------|-------|-------|-------|
| حالت | ۱ | ۲ | ۳ | ۴ | حالت | ۱ | ۲ | ۳ | ۴ |
| ۱ | ۰/۹۷۱ | ۰/۰۱۴ | ۰/۰۰۶ | ۰/۰۰۹ | ۱ | ۰/۷۵۴ | ۰/۱۲۳ | ۰/۰۳۱ | ۰/۰۹۲ |
| ۲ | ۰/۰۱۳ | ۰/۹۱۳ | ۰/۰۵۴ | ۰/۰۲۰ | ۲ | ۰/۰۴۰ | ۰/۹۰۰ | ۰/۰۳۰ | ۰/۰۳۰ |
| ۳ | ۰/۰۳۳ | ۰/۰۵۰ | ۰/۸۱۷ | ۰/۱۰۰ | ۳ | ۰/۰۵۳ | ۰/۰۵۳ | ۰/۷۸۹ | ۰/۱۰۵ |
| ۴ | ۰/۰۲۵ | ۰/۰۲۵ | ۰/۰۷۵ | ۰/۸۷۵ | ۴ | ۰/۱۸۲ | ۰/۰۹۱ | ۰/۱۸۲ | ۰/۰۴۵ |

کام پنجم؛ در این مرحله، تخمین حالت هر یک از سلول‌ها با استفاده از ماتریس احتمال انتقال و داده‌های مشاهده شده انجام می‌پذیرد. زنجیره مارکوف در دو بعد بیانگر رفتار دو زنجیره مستقل از یکدیگر است که هر کدام بر اساس قوانین کلامیک مارکوف یک بعدی عمل می‌کنند. این دو زنجیره به صورت (Y_j) و (X_i) تعریف می‌شوند که به ترتیب معرف توالی رخسارهای در راستای افقی و قائم می‌باشند.

احتمال انتقال در راستای افقی به صورت رابطه ۷ بیان می‌شود. احتمال انتقال در راستای قائم می‌باشد.

رابطه (۷)

$$p_{mk}^v = \text{pr}(Y_{j+1} = S_k | Y_j = S_m) \quad \text{رابطه (8)}$$

در این رابطه، p_{mk}^v بیانگر احتمال انتقال حالت از سلول Y_j به سلول Y_{j+1} است. به منظور تعیین حالت هر سلول در دو بعد $(Z_{i,j})$ از هر دو زنجیره X_i و Y_j استفاده می‌شود. از این رو با بسط رابطه ۵ در دو

بعد، رابطه ۹ بدست می‌آید.

$$p_{lk}^h = \text{pr}(X_{x+1} = S_k | X_x = S_l) \quad \text{رابطه (7)}$$

$$\Pr\left(Z_{i,j} = S_k \mid Z_{i-1,j} = S_l, Z_{i,j-1} = S_m, Z_{N_{x,j}} = S_q \right) = \frac{p_{lk}^h \cdot p_{kq}^{h(N_{x,j})} \cdot p_{mk}^v}{\sum_f p_{lf}^h \cdot p_{fq}^{h(N_{x,j})} \cdot p_{mf}^v} \quad k=1, \dots, n \quad \text{رابطه (9)}$$

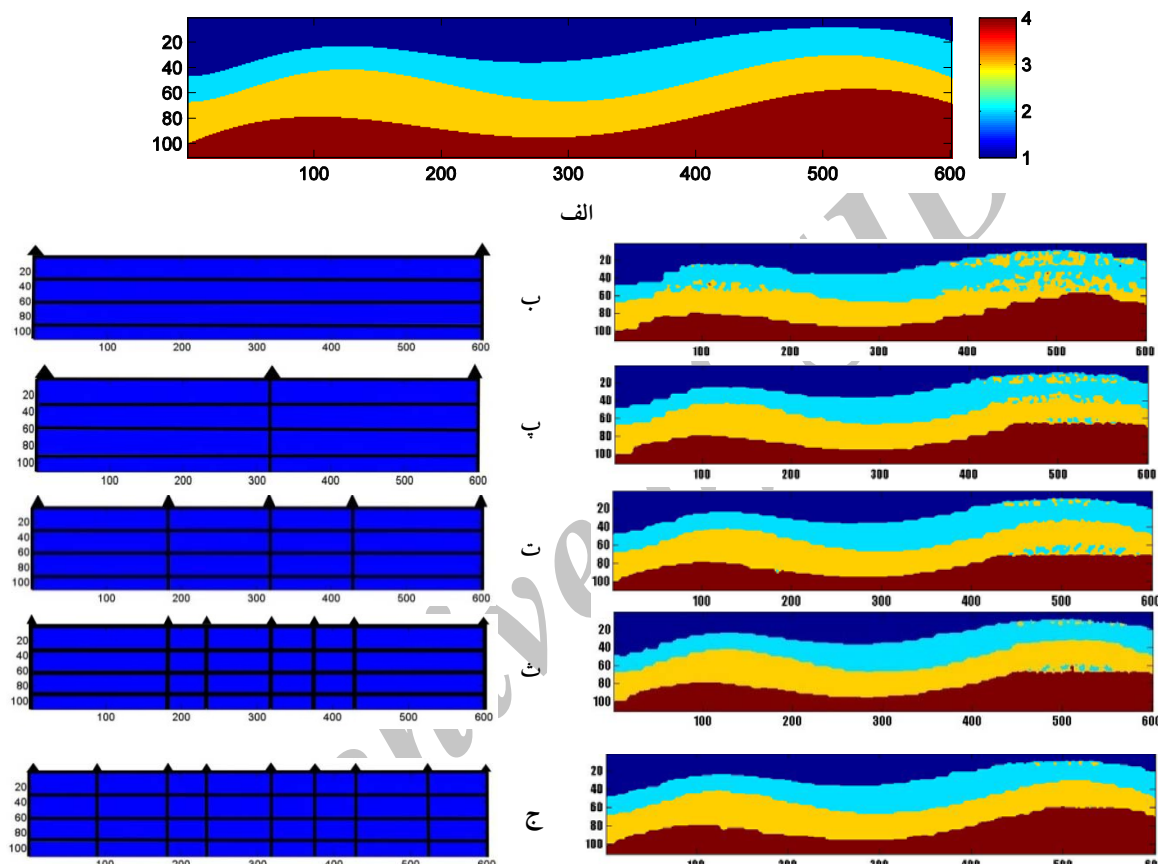
در این رابطه، هر سلول ناشناخته $Z_{i,j}$ توسط حالت‌های معلوم سلول‌های $(j, i-1)$ و $(i, j-1)$ و (i, N_x) و (i, N_x) توزیع شرطی می‌شود. مورد تخمین $\Pr(Z_{i,j} = S_k \mid Z_{i-1,j} = S_m, Z_{i,j-1} = S_q)$ قرار می‌گیرد. با توجه به تصویر ۲، سلول $(j, i-1)$ دارای حالت S_m در همسایگی قائم، سلول $(i-1, j)$ دارای حالت S_l در همسایگی افقی و

درین شناسی کاربردی- سال ۹ (۱۳۹۲)، شماره ۱

مقطع مورد نظر است. در تصویر ۴، در سمت چپ موقعیت قرار گرفتن چاهها و در سمت راست مدل‌سازی انجام شده، نمایش داده شده است. بر این اساس، با افزایش تعداد چاهها، مدل ارائه شده به ساختار واقعی نزدیکتر می‌شود. در نهایت، با بکارگیری نه چاه، مدل‌سازی با روش مارکوف با دقت ۹۴ درصد انجام شد (تصویر ۴-ج، سمت راست).

رسیده است. مخرج این کسر بیانگر مجموع احتمال تمامی حالات رخداد رخساره‌ها می‌باشد که جهت نرمال نمودن P_{f} استفاده می‌شود. بر اساس رابطه ۹، برای شرطی کردن و افزایش دقت شبیه‌سازی، از چاه دوم استفاده شد.

نتایج مدل‌سازی رخساره‌ها در مقطع مورد مطالعه در تصویر ۴ ارائه شده است. تصویر ۴-الف بیانگر حالت واقعی تغییرات رخساره‌ها در



تصویر ۴- (الف) تصویر واقعی تغییرات رخساره‌ها را در مقطع مورد مطالعه نشان می‌دهد. تصاویر سمت چپ موقعیت، تعداد چاهها (با نشانگر مثلث نشان داده شده است) و افق‌های لرزه‌ای و تصاویر سمت راست مدل‌سازی رخساره‌ها را با استفاده از روش مارکوف نمایش می‌دهند. مدل‌سازی رخساره‌ها با (ب) دو چاه، (پ) سه چاه، (ت) پنج چاه، (ث) هفت چاه و (ج) تمامی چاه‌ها (نه چاه). (ج) بهترین نتیجه را با دقت ۹۴ درصد نشان می‌دهد

برخوردار می‌باشد. بنابراین، می‌توان از نتایج حاصل از مدل‌سازی در یک مقطع با حضور اطلاعات لرزه‌ای برای مدل‌سازی در مقاطع دیگر بدون حضور این اطلاعات، با دقت قابل قبولی استفاده کرد. به منظور بررسی تعمیم‌پذیری روش مدل‌سازی مارکوف در مقاطع مطالعه باید موارد زیر در نظر گرفته شوند. مقاطع آزمون (Test) و مقطع آموزش (Train) باید از نظر ساختمانی وضعیت مشابهی داشته باشند، به عنوان مثال همگی در راستای ساختمان طقادیس مورد مطالعه یا عمود بر محور آن باشند. توالی چینه‌شناسی و رخساره‌ها در هر یک از

۵- تعمیم‌پذیری مدل‌سازی (فسساره‌ها) با (روش مارکوف)

به منظور مدل‌سازی با روش مارکوف، از اطلاعات داده‌های چاهنماودار و اطلاعات لرزه‌ای استفاده می‌شود. در بسیاری از مقاطع مورد مطالعه در این پژوهش تنها اطلاعات چاه‌ها موجود بوده (اطلاعات عمقی جانبی از این مقاطع در دسترس نمی‌باشد) بنابراین، بررسی قابلیت تعمیم مدل‌سازی با استفاده از روش مارکوف امری ضروری است. با توجه به نتایجی که در ادامه بیان می‌شود، اساساً مدل‌سازی مارکوف با اعمال شرایطی، از خاصیت تعمیم‌پذیری

انتقال افقی تشکیل می‌شود. این ماتریس به عنوان ماتریس احتمال رخساره‌ها مشابه باشد، یعنی ترتیب قرار گرفتن رخساره‌ها یکدیگر باشد.

در مرحله سوم برای تشکیل ماتریس احتمال انتقال قائم در مقاطع آزمون، از اطلاعات چاههای همان مقاطع استفاده می‌شود. در این صورت فقط ماتریس احتمال انتقال افقی از مقاطع آموزش بدست می‌آید.

در مرحله چهارم برای انجام مدلسازی جهت تخمین هر سلول، به سلول سمت چپ و بالای آن نیاز است. بنابراین، در تخمین سلول‌های ردیف دوم شبکه باید حالت سلول‌های ردیف اول مشخص باشد.

همچنین به علت نداشتن این اطلاعات می‌توان از اطلاعات ردیف اول مقاطع آموزش به عنوان ردیف اول مقاطع آزمون استفاده کرد. به عبارتی در مدلسازی این مقاطع فقط اطلاعات یک افق به عنوان فضای مشاهده شده موجود است.

در مرحله پنجم با داشتن ماتریس احتمال افقی، قائم و فضای مشاهده شده (چاههای و یک افق لرزه‌ای)، توسط رابطه 9 به تخمین سلول‌ها پرداخته می‌شود. با توجه به تصویر 5 ، مقاطع یک مقاطع آموزش و مقاطع دو و سه به عنوان مقاطع آزمون انتخاب شدند.

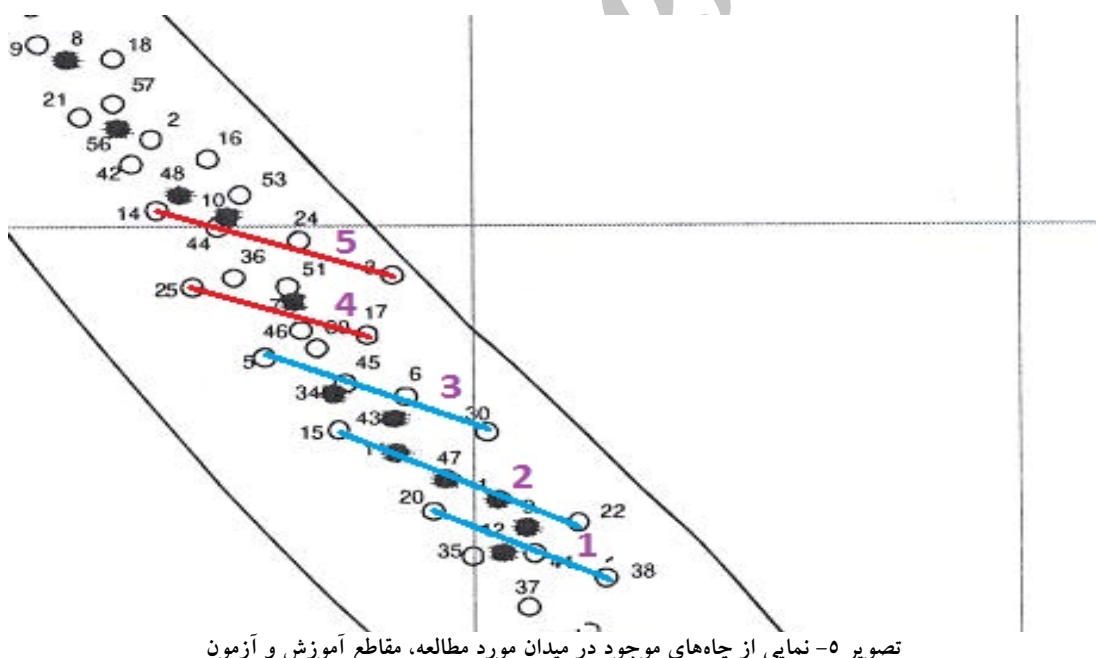
مقاطع آزمون و آموزش باید مشابه باشد، یعنی ترتیب قرار گرفتن رخساره‌ها یکدیگر باشد. مقاطع هدف و مرجع باید از تعداد و حالت رخساره یکسان برخوردار باشند.

از نظر تعداد به این معنا که، نباید یک مقاطع دارای چهار رخساره و دیگری دارای پنج رخساره باشد، زیرا ابعاد ماتریس‌ها در این حالت با یکدیگر متفاوت خواهند بود. همچنین برای حالت رخساره‌ها، به عنوان مثال اگر در یک مقاطع دارای حالت رخساره شیل و در مقاطع دیگر به جای شیل، انیدریت موجود باشد در این حالت نیز ماتریس‌ها در دو مقاطع با هم متفاوت خواهند بود.

۱-۵- الگوریتم بررسی تعمیم پذیری

برای مدلسازی به کمک روش مارکوف در مقاطعی که اطلاعات لرزه‌ای وجود ندارد (تعمیم مدلسازی) طبق مراحل زیر عمل می‌شود. در ابتدا مقاطع آزمون و آموزش با توجه به شرایط ذکر شده در بخش قبل انتخاب می‌شوند.

در مرحله دوم برای استفاده از اطلاعات افقی (لرزه) مقاطع آموزش، با در نظر گرفتن یک فاصله مناسب بین افق‌های لرزه‌ای، ماتریس احتمال

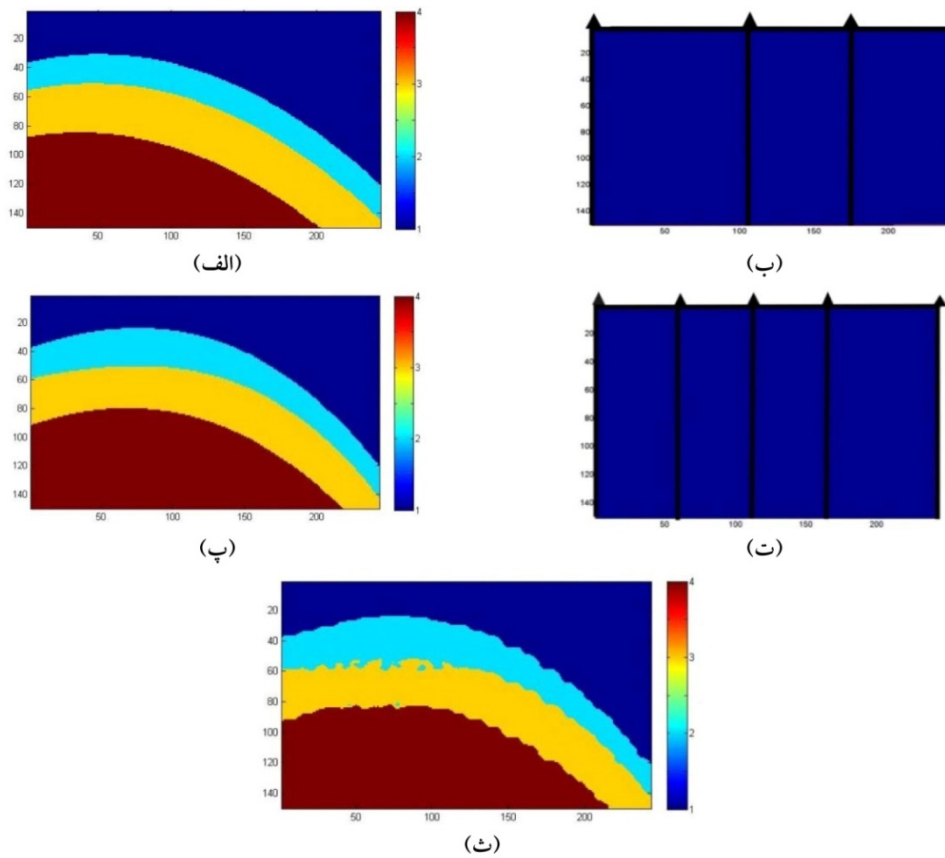


تصویر ۵- نمایی از چاههای موجود در میدان مورد مطالعه، مقاطع آموزش و آزمون

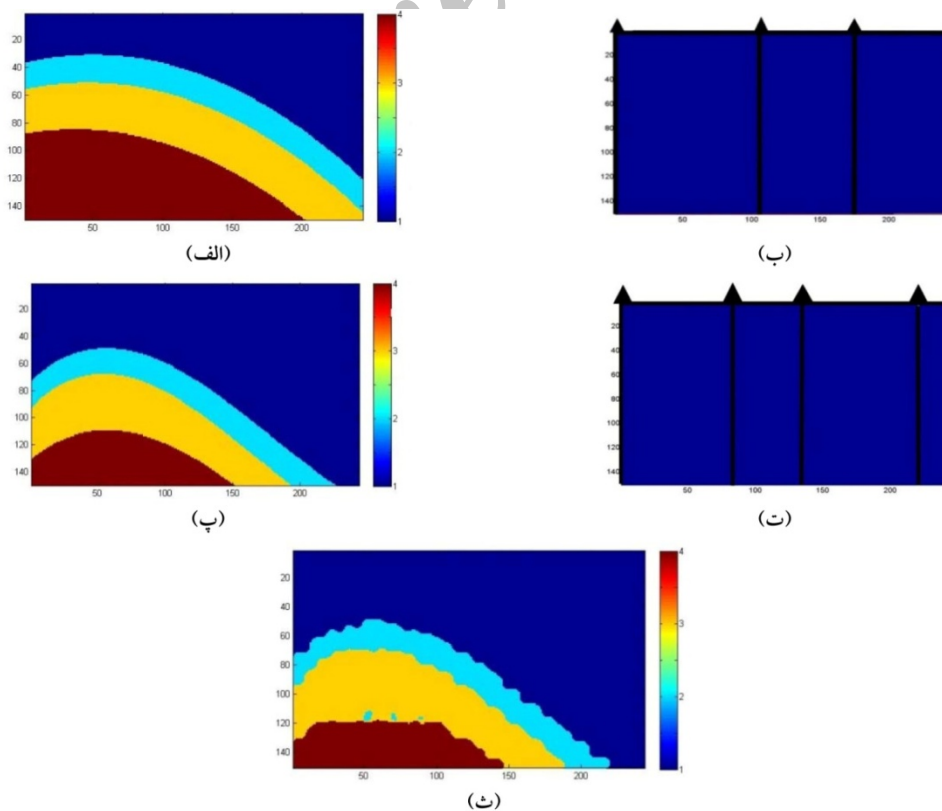
آزمون دو و سه در جدول 4 آورده شده است. بر این اساس، مدلسازی مقاطع آزمون با دقت نسبتاً بالایی صورت گرفته، به طوری که مقدار آن برای مقاطع دو 85 درصد و برای مقاطع سه 78 درصد می‌باشد.

مقاطع دو با مقاطع یک شباهت بسیاری دارد، در حالی که مقاطع سه از نظر گستردگی و شکل لایه‌ها تفاوت بارزی با مقاطع آموزش دارد. مقاطع موردن اشاره به همراه نتایج مدلسازی و موقعیت قرارگیری چاهه‌ها در تصاویر 6 و 7 نشان داده شده‌اند.

ماتریس درهم ریختگی و میزان خطای این مدلسازی برای مقاطع



تصویر ۶- نمایشی از تعمیم‌پذیری روش مارکوف در مدلسازی. (الف) مقطع آموزش یک، (ب) موقعیت قرارگیری چاهها و افق‌های لرزه‌ای در مقطع آموزش، (پ) مقطع آزمون دو، (ت) موقعیت قرارگیری چاهها و افق‌های لرزه‌ای در مقطع آزمون، (ث) مدلسازی مقطع آزمون با استفاده از مقطع آموزش.



تصویر ۷- نمایشی از تعمیم‌پذیری روش مارکوف در مدلسازی. (الف) مقطع آموزش یک، (ب) موقعیت قرارگیری چاهها و افق‌های لرزه‌ای در مقطع آموزش، (پ) مقطع آزمون سه، (ت) موقعیت قرارگیری چاهها و افق‌های لرزه‌ای در مقطع آزمون، (ث) مدلسازی مقطع آزمون با استفاده از مقطع آموزش.

جدول ۴- ماتریس درهم ریختگی دسته‌بندی برای چهار رخساره در مقطع آزمون دو و سه

| مقطع | مقطع ۲ | مقطع ۳ |
|------------------------|--------------|---------------|
| ماتریس درهم ریختگی | | |
| اثر ماتریس درهم ریختگی | 3.387 | 3.1024 |
| CCR | 0.85 | 0.7756 |
| متیوست احتمال خطأ | 0.15 | 0.2244 |

می باشد، ماتریس احتمال انتقال قائم از چاه سمت چپ (مرز اول) به دست آمده و چاه سمت راست به عنوان مرز شرطی در نظر گرفته می شود. هم چنین برای محاسبه ماتریس احتمال افقی، شمارش انتقال‌ها از چپ به راست صورت می‌گیرد. بر اساس تصویر ۹، اگر مسیر حرکت زنجیره از راست به چپ (برگشت) باشد، برای محاسبه ماتریس احتمال قائم از چاه سمت راست (مرز دوم) استفاده شده و چاه سمت چپ به عنوان مرز شرطی فرض می‌شود. با توجه به این که جهت حرکت زنجیره در شمارش انتقال‌ها موثر است، بنابراین ماتریس احتمال افقی برای حرکت از راست به چپ، مجدد محاسبه می‌شود.

۴- اهکار در جهت بهبود دقت مدل سازی با (وش مارکوف)

به منظور افزایش دقت مدل سازی، تغییراتی در فرآیند مدل ساز زنجیره مارکوف صورت پذیرفت که در ادامه به معرفی این راهه پرداخته می شود. با توجه به تصاویر ۸ و ۹، در این راهکار جهت حرکت در دو سطح متواالی از سلول های شبکه عکس یکدیگر است عنوان مثال حرکت زنجیره در سطح دوم از چپ به راست بوده و م شرطی چاه سمت راست است، در صورتی که در سطح سوم حرکت راست به چپ و مرز شرطی چاه سمت چپ در نظر گرفته می شود توجه به تصویر ۸ هنگامی که حرکت زنجیره از چپ به راست (رفت

| | | | | | | | | |
|-------------------------|--|--|--|--|--------------------------------|--|--|--|
| 1, 1 | | | | | | | | 1, N_x |
| | | | | | | | | |
| | | | | | (i-1,j) = S_m | | | |
| | | | | (i , j-1) = S_l | (i , j) = S_k | | | (i , N_x) = S_q |
| | | | |  | | | | |
| | | | | | | | | |
| | | | | | | | | |
| N_y, 1 | | | | | | | | N_y, N_x |

تصویر ۸- نمایش حرکت رفت و برگشتی از سمت چپ به راست در شبکه‌بندی از فضای بین اطلاعات دو چاه (راستای عمودی) و یک افق لرزه‌ای (راستای افقی). سلول‌های خاکستری تیره نقاط مشاهده شده، سلول‌های خاکستری روشن سلول‌های تختیین زده شده، سلول‌های سفید ناشناخته هستند.

تصویر ۹- نمایش حرکت رفت و پرگشته از سمت راست به چپ در شبکه بندی از فضای بین اطلاعات دو چاه(راستای عمودی) و یک افق لرزه‌ای (راستای افقی) با توجه به قدرت تفکیک چاه و لرزه. سلول‌های خاکستری تیره نقاشه شده، سلول‌های خاکستری روشن سلول‌های تخمین زده شده، سلول‌های سفید ناشناخته هستند.

می شود. برای حرکت از چپ به راست همان طور که پیشتر اشاره شد از اطهه (۹) استفاده می شود.

با توجه به حرکت زنجیره که از چپ به راست و یا از راست به چپ
باشد از اطه (۱۰) و (۱۱) باید تخمین حالت سللهای دهنده گفته

$$\Pr(Z_{i,j} = S_k \mid Z_{i-1,j} = S_m, Z_{i,j-1} = S_l, Z_{i,N_x} = S_q) = \frac{p_{ik}^{h1} \cdot p_{kq}^{h1(N_x-j)} \cdot p_{mk}^v}{\sum_f p_{if}^{h2} \cdot p_{fq}^{h2(N_x-j)} \cdot p_{mf}^v} \quad k=1, \dots, n \quad (10)$$

در رابطه بالا منظور از p^{h1} ، ماتریس احتمال انتقال افقی در حرکت از چپ به راست است. در حرکت از راست به چپ، با توجه به می‌کند از این رو رابطه (10) به شکل زیر تغییر می‌یابد:

$$\Pr(Z_{i,j} = S_k \mid Z_{i+1,j} = S_m, Z_{i,j-1} = S_l, Z_{i,1} = S_w) = \frac{p_{lk}^{h2} \cdot p_{kw}^{h2(j-1)} \cdot p_{mk}^v}{\sum_f p_{lf}^{h2} \cdot p_{fw}^{h2(j-1)} \cdot p_{mf}^v} \quad k = 1, \dots, n \quad (11)$$

تخمین مدلسازی در حرکت دو نسبت به حرکت یک در هر تعداد از افق‌های لرزه‌ای از افزایش قابل ملاحظه‌ای برخوردار است. با توجه به نتایج جداول بالا همان‌طور که مشاهده می‌شود دقت مدلسازی در این راهکار نسبت به روش مارکوف بالاتر بوده و با افزایش تعداد چاه‌ها، دقت به طور قابل مشخصی افزایش می‌یابد. از مزایای این روش این است که در واقع بدون اینکه تغییری در حجم اطلاعات مورد استفاده صورت گیرد اثر هر دو چاه در تخمین حالت هر سلول لحظه‌ای شود. به عبارت دیگر در این راهکار از هر دو چاه برای شمارش انتقال حالت‌ها و شبیه‌سازی شرطی استفاده می‌شود و فقط محدود به یک چاه نیست. همچنین برای تشکیل ماتریس احتمال افقی نیز شمارش انتقال‌ها در هر دو جهت حرکت (از چپ به راست و از راست به چپ) در نظر گرفته می‌شود.

p^{h2} بیانگر احتمال انتقال افقی برای حرکت از راست به چپ می‌باشد. توان در پارامتر $p_{kw}^{h2(j-1)}$ اختلاف سلول مورد تخمین تا چاه اول (چاه سمت چپ) می‌باشد.

برای بررسی تأثیر این راهکار بر روی دقت مدلسازی از جداول ۵ و ۶ استفاده شده است. جدول ۵ نتایج دقت تخمین رخساره‌ها را برای تعداد افق‌های لرزه‌ای ثابت سه (اختلاف بین افق‌های لرزه ۲۰ سلول می‌باشد) و تعداد چاه‌های متغیر در هر دو حالت از نوع حرکت تخمین را نشان می‌دهد. همان‌طور که در جدول ۵ مشخص است اثر مثبت حرکت رفت و برگشتی بر روی دقت مدلسازی نسبت به حرکت رفت قابل مشاهده است. در جدول ۶ نتایج دقت تخمین رخساره‌ها برای تعداد افق‌های لرزه‌ای متغیر و تعداد چاه‌های ثابت (دو چاه) در هر دو حالت از نوع حرکت ارائه شده است. برای تعداد ثابت دو چاه دقت

جدول ۵- میزان دقت مدلسازی با استفاده از سه افق لرزه‌ای و تعداد چاه‌های متغیر با استفاده از حرکت رفت و برگشتی

| تعداد افق لرزه‌ای | تعداد چاه | |
|----------------------------|-----------|--------|
| | ۲ چاه | ۳ چاه |
| حرکت ۱ (حرکت رفت) | ۰/۷۵۳۲ | ۰/۷۴۶۵ |
| حرکت ۲ (حرکت رفت و برگشتی) | ۰/۷۷۱۲ | ۰/۹۰۴۲ |
| | ۰/۷۶۶۷ | ۰/۸۴۶۵ |
| | ۰/۸۲۵۴ | ۰/۸۶۱۲ |
| | ۰/۸۵۳۸ | ۰/۹۲۵۷ |

جدول ۶- میزان دقت مدلسازی با استفاده از دو چاه و تعداد افق‌های لرزه‌ای متغیر برای حرکت رفت و برگشتی

| تعداد چاه | تعداد افق لرزه‌ای | |
|----------------------------|-------------------|--------|
| | ۵ افق | ۴ افق |
| حرکت ۱ (حرکت رفت) | ۰/۸۴۱۲ | ۰/۸۰۶۷ |
| حرکت ۲ (حرکت رفت و برگشتی) | ۰/۹۰۱۰ | ۰/۸۵۲۱ |
| | ۰/۷۵۳۲ | ۰/۷۷۱۲ |
| | ۰/۷۰۳۸ | ۰/۷۱۸۴ |

جدول ۷- ماتریس درهم ریختگی دسته‌بندی برای چهار رخساره با روش مارکوف و حرکت رفت و برگشتی در تعمیم‌پذیری مقطع سه

| تعیین‌پذیری با روش | مارکوف | رفت و برگشتی |
|------------------------|---|---|
| ماتریس درهم ریختگی | $\begin{bmatrix} 0.9471 & 0.0235 & 0.0154 & 0.0140 \\ 0.2703 & 0.6050 & 0.0907 & 0.034 \\ 0.0611 & 0.1085 & 0.7518 & 0.0786 \\ 0.0366 & 0.0320 & 0.1329 & 0.7985 \end{bmatrix}$ | $\begin{bmatrix} 0.9721 & 0.0135 & 0.0124 & 0.0020 \\ 0.2703 & 0.6602 & 0.0907 & 0.034 \\ 0.0611 & 0.1085 & 0.7812 & 0.0786 \\ 0.0366 & 0.0320 & 0.1329 & 0.8642 \end{bmatrix}$ |
| اثر ماتریس درهم ریختگی | 3.1024 | 3.277 |
| CCR | 0.7756 | 0.819 |
| متوسط احتمال خطأ | 0.2244 | 0.181 |

تعیین‌پذیری مقاطع آزمون با استفاده از این راهکار در مقایسه با روش مارکوف در تصویر ۱۰ ارائه شده است. همان‌طور که مشاهده می‌شود تعمیم‌پذیری با استفاده از راهکار پیشنهادی از دقت بالاتری برخوردار است.

۷- مقایسه نتایج حاصل از راهکار پیشنهادی با روش مارکوف در تعمیم‌پذیری مارکوف

همان طور که پیش‌تر اشاره شد، راهکار پیشنهادی نقش بسزایی در افزایش دقت مدل‌سازی با روش مارکوف دارد. لذا از این راهکار برای



تصویر ۱۰- میزان دقت تعمیم‌پذیری با استفاده از روش مارکوف و راهکار پیشنهادی در مقاطع دو و سه

افق لرزه‌ای دقت مدل‌سازی مقاطع آزمون با استفاده از روش زنجیره مارکوف ۸۴ درصد و راهکار حرکت رفت و برگشتی ۹۰ درصد به دست آمد؛ هم‌چنان در تعمیم‌پذیری نیز، نتیجه راهکار حرکت رفت و برگشتی نسبت به روش مارکوف دقت بالاتری را برای مدل‌سازی رخساره‌ها با توجه به اطلاعات موجود ارائه کرد.

۸- تئیم‌گیری

در این مطالعه به تشریح روند مدل‌سازی رخساره‌های عمیق با استفاده اطلاعات چاه نمودارها و داده‌های لرزه‌ای پرداخته شد. همان‌طور که نشان داده شد مدل‌سازی رخساره‌ها با استفاده از روش زنجیره مارکوف با اطلاعات نه چاه و بطور متوسط با دقت ۹۴ درصد به دست آمد.

به منظور بررسی تعمیم‌پذیری روش مارکوف با در نظر گرفتن شرایطی، به مدل‌سازی دو مقطع آزمون پرداخته شد؛ که دقت مدل‌سازی در آنها به ترتیب ۸۵ درصد و ۷۸ درصد بدست آمد. در راستای افزایش دقت مدل‌سازی توسط روش مارکوف به پیشنهاد راهکاری تحت عنوان حرکت رفت و برگشتی پرداخته شد.

این راهکار بر مبنای تغییر نوع حرکت زنجیره استوار است. نتایج نشان داد تغییر نوع حرکت زنجیره می‌تواند نقش مهمی بر کاهش خطای تخمین داشته باشد. با در نظر گرفتن اطلاعات دو چاه و پنج

امینی، ع.، ۱۳۸۸، "مبانی چینه‌نگاری سکانسی"، انتشارات دانشگاه تهران.

Anderson, T. W. & Goodman, L. A., 1957, "Statistical inference about Markov chains", *The Annals of Mathematical Statistics*, Vol. 28 (1): 89-110.

Billingsley, P., 1961, "Statistical methods in Markov chains", *The Annals of Mathematical Statistics*, Vol. 32 (1): 12-40.

Krumbine, W. C. & Dacey, M. F., 1969, "Markov chains and embedded Markov chains in geology", *Mathematical Geology*, Vol. 1 (1): 79-96.

EDCO Kish International Company, 2006, "Gological studies report for Mansuri oil field development in Asmari formation".

Elfeki, A.M. & Dekking, F.M., 2001, "A Markov chains model for subsurface characterization: theory and applications", *Mathematical Geology*, Vol. 38 (4): 569-589.

Higgins, J. J. & Keller-McNulty, S., 1995, "Concepts in probability and stochastic modeling", *Duxbury Press*, 432 pp.

Li, W., 2007, "Markov chain random fields for estimation of categorical variables", *Mathematical Geology*, Vol. 39 (3): 321-335.

Li, W. & Zhang, C., 2008, "A single-chain-based multidimensional Markov chain model for subsurface characterization", *Environmental and Ecological Statistics*, Vol. 15: 157-174.

Modica, G. & Poggolini, L., 2012, "A first course in probability and Markov Chains", *John Wiley & Sons*, 352 pp.

Mukerji, T., Jorstad, A., Avseth, P., Mavko, G. & Granli, J. R., 2001, "Mapping lithofacies and pore-fluid probabilities in a North Sea reservoir: Seismic inversions and statistical rock physics", *Geophysics*, Vol. 66: 988-1001.

Mukerji, T., Jorstad, A., Avseth, P., Mavko, G. & Granli, J. R., 2005, "Mapping lithofacies and pore-fluid probabilities in a North sea reservoir: Seismic inversions and statistical rock physics", *Geophysics*, Vol. 66: 1001-1020.

Papoulis, A., 2002, " Probability, random variables and stochastic", *McGraw-Hill Europe*, 97 pp.

Ross, S. M., 2009, "Introduction to probability models", *Academic press*, 110 pp.